

پایش کم فشاری‌های جوی و تأثیر آن‌ها بر تراز آب دریای خزر

تگین حاتمی باور صاد^۱، داریوش منصوری^{۲*}، محمدرضا خلیل‌آبادی^۳

neginbavarsad70@gmail.com

دانشگاه تربیت مدرس، نور

*mansoury@modares.ac.ir

دانشگاه تربیت مدرس، نور

rezakhalilabadi@gmail.com

^۳ دکترای فیزیک دریا، دانشگاه صنعتی مالک اشتر، شیراز

تاریخ پذیرش: ۹۶/۱۲/۲۸

تاریخ دریافت: ۹۶/۱۱/۳۰

چکیده

در این تحقیق کم فشاری‌های جوی، منشأ و مسیر چرخدندهای جوی ایجاد شده بر دریای خزر در سال ۲۰۱۵ بررسی می‌شود. سپس سرعت جابه‌جاوی چرخدندهای جوی و تغییرات تراز آب ناشی از کم فشاری جوی و باد در فصل‌های مختلف سال تحلیل می‌شود. در این تحقیق از داده‌های تراز ثبت شده در ایستگاه‌های بندر امیرآباد، بندر انزلی، فریدون‌کنار و نیز داده‌های میانگین فشار تراز آب و باد از سایت ECMWF با گام زمانی ۶ ساعته و دقت ۰/۰۰ درجه جغرافیایی استفاده گردید و برای سال ۲۰۱۵ داده‌های تراز آب با داده‌های ثبت شده ایستگاه‌ها، صحت سنجی شده و سپس منشأ و سرعت جابه‌جاوی چرخدندهای جوی و تراز آب ناشی از کم فشاری جوی و باد بررسی شده است. از نتایج این تحقیق می‌توان به تغییرات غالب تراز آب در مناطق شرقی خزر جنوبی ناشی از کم فشاری جوی و در مناطق غربی این حوضه، ناشی از باد اشاره کرد. به عنوان نمونه در ۱۶ آگوست در ایستگاه انزلی تغییرات تراز ناشی از کم فشاری جوی و باد به ترتیب ۱/۶ و ۲/۴ سانتی‌متر و در ۵ آوریل در ایستگاه امیرآباد این مقادیر به ترتیب ۰/۵ و ۰/۵ سانتی‌متر است. همچنین می‌توان به منشأ کم فشاری‌های جوی در ماه‌های فوریه و می از مناطق شمال غربی خزر و در ماه‌های آگوست و نوامبر از غرب و جنوب غربی این حوضه اشاره کرد. سرعت جابه‌جاوی چرخدندهای جوی در ماه‌های فوریه، می، آگوست و نوامبر به ترتیب ۹/۱، ۳/۳، ۱۵/۸ و ۰/۵ متر بر ثانیه است.

واژه‌های کلیدی: تراز آب، کم فشار جوی، باد، دریای خزر

۱. مقدمه

سمت نواحی اطراف به سوی ناحیه کم فشار آغاز شود، آنگاه به چنین حرکت هوایی، چرخدنده یا سیکلون گفته می‌شود. بدیهی است که در چنین شرایطی، حرکت هوایی به سمت مرکز چرخدنده تحت تأثیر نیروی کربولیس قرار خواهد گرفت [۲]. مراکز فشاری با توجه به ماهیت و علت اصلی شکل‌گیری، به دو دسته حرارتی و دینامیکی تقسیم می‌شوند. مراکز فشار حرارتی تابع شدت تابش خورشید و به دنبال آن تابع عرض جغرافیایی و فصل سال هستند. به همین دلیل مراکز پر فشار حرارتی در عرض‌های بالا و در دوره سرد سال تشکیل شده، در حالی که مراکز کم فشار حرارتی در عرض‌های پایین و

آشفتگی سطح تراز دریا به هنگام عبور چرخدندهای جوی معلوم دو علت است. علت اول شدت وزش بادها است که با وارد کردن تنفس بر سطح آب باعث انتقال تکانه به سطح آب شده و علت دوم، تغییرات فشار هواست که باعث آشفتگی سطح تراز دریا می‌شود. این اثر که اغلب با عنوان «اثر وارونگی فشار^۱» شناخته می‌شود، با توجه به رابطه فشار هیدرولوژیک بیان می‌کند که به ازای هر میلی بار افت/افزایش فشار هوا روی سطح دریا، ارتفاع سطح آب یک سانتی‌متر افزایش/کاهش می‌یابد [۱]. اگر در یک منطقه، فشار هوا در آن ناحیه کاهش یافته باشد و حرکت هوا از

منطقه موردمطالعه در این تحقیق دریای خزر است. این دریا بین دو قاره آسیا و اروپا واقع شده است و در عرض جغرافیایی 35° تا 48° شمالی و طول جغرافیایی 46° تا 55° شرقی قرار گرفته است، به طوری که از سوی کشورهای جمهوری اسلامی ایران، ترکمنستان، قزاقستان، روسیه و جمهوری آذربایجان احاطه شده است. با توجه به شکل ۱ دریای خزر را می‌توان بر اساس شرایط فیزیکی، جغرافیایی و توپوگرافی به سه بخش تقسیم کرد [۵]: خزر شمالی (NCB^۲)، خزر میانی (MCB^۳) و خزر جنوبی (SCB^۴). مساحت خزر شمالی، 80000 کیلومترمربع است. حجم آبی در حدود 400 کیلومتر مکعب، کمتر از 1% حجم کل آب خزر در این بخش قرار دارد و میانگین عمق آن 5 متر و بیشینه عمق آن 15 متر است. خزر میانی مساحتی در حدود 138000 کیلومترمربع دارد. حجم آب در این بخش 26500 کیلومتر مکعب است که $\frac{33}{9}\%$ از حجم کل آب دریا در این بخش قرار دارد. محدوده خزر جنوبی، مرز جنوبی خزر میانی تا کرانه‌های ساحل ایران است. مساحت این حوضه در حدود 168000 کیلومترمربع است. عمیق‌ترین نقطه دریای خزر در این حوضه است. بیشترین عمق در این قسمت 1025 متر و متوسط آن 325 متر است [۶]. از مطالعات انجام شده در این زمینه می‌توان به تأثیر عبور چرخندهای هواشناسی بر نوسانات سطح آب در کanal قشم اشاره کرد. در این مطالعه داده‌های تراز آب از سازمان نقشه‌برداری ایران و داده‌های هواشناسی از سازمان هواشناسی گرفته شد، سپس با استفاده از نرم‌افزار تسک^۵ مورد تجزیه و تحلیل قرار گرفت. از نتایج آن می‌توان به یک تا دو روزه بودن دوره تناوب خیزاب چرخند جوی در کanal قشم اشاره کرد. همچنین بررسی‌های آماری نشان می‌دهند که کanal قشم بیشتر تحت تأثیر چرخندایی قرار می‌گیرد که از جنوب یا جنوب شرق وارد منطقه می‌شوند که این چرخندها با حرکت به سمت شمال ضعیف می‌شوند. چرخندایی که از سمت شمال‌غرب وارد خلیج فارس می‌شوند به ندرت به تنگه هرمز و کanal قشم می‌رسند [۷]. همچنین در تحقیقی دیگر بررسی اثرات پدیده‌های هواشناسی بر تراز آب در شمال غربی خلیج فارس موردمطالعه قرار گرفت که تجزیه و تحلیل داده‌های تراز سطح دریا، گرفته شده

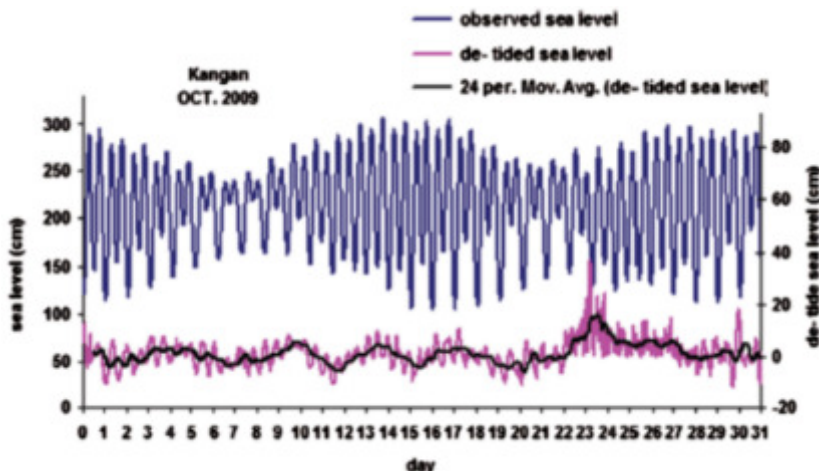
اغلب در دوره گرم سال مشاهده می‌شوند. به عبارت دیگر؛ این مراکز فشار ریشه در خصوصیات حرارتی زمین دارند و به نسبت فاصله از سطح زمین، از شدت آن‌ها کاسته می‌شود و درنهایت در ارتفاع تقریباً 1500 متری از سطح زمین محو می‌شوند. مراکز فشار دینامیکی، مراکزی هستند که در ایجاد آن‌ها برخلاف مراکز فشار حرارتی، توزیع دمایی روی کره زمین به عنوان عامل غیرمستقیم دخالت دارد. این مراکز فشاری از الگوی گردش جوی تعیت می‌کنند و در ارتباط با گردش هوا در ترازهای بالای تروپوسفر در مقیاس‌های زمانی روزانه تا سالانه شکل می‌گیرند [۳]. تراز آب در محیط‌های مختلف آبی، مانند اقیانوس‌ها، دریاچه‌ها، خلیج‌ها، خورها، رودخانه‌ها، مناطق دور از ساحل و نزدیک به ساحل، به دلیل رویداد پدیده‌های مختلف دائمًا در حال تغییر است. این پدیده‌ها که بیشتر ماهیت موجی دارند، تحت تأثیر عوامل گوناگون متغیر از یک یا چند نیروی مولد - که منشأ نجومی، هواشناسی و زمین‌شناسی دارند - یک یا چند نیروی تداوم بخش مانند کشش سطحی، گرانی و کربولیس، یک یا چند نیروی بازدارنده (اصطکاک بستر، جانبی و درونی) و شرایط جغرافیایی حوضه (شکل، توپوگرافی و موقعیت جغرافیایی) شکل می‌گیرند [۴].



شکل ۱. مشخصات جغرافیایی دریای خزر [۶]

که بخش شمال غربی خلیج فارس بیشترین تأثیرپذیری را از نوسانات غیر جزرومدی دارد. همچنین با مقایسه گزارش‌های دو ایستگاه بندرعباس و کنگان می‌توان به تأثیر بالای نوسانات غیر جزرومدی اشاره کرد [۸].

از ایستگاه‌های کنگان (به صورت نیمساعتی) نشان داد که در ماه اکتبر (سال ۲۰۰۹) نوسانات غیر جزرومدی مشاهده می‌شود (شکل ۲). در این تحقیق با بررسی پدیده‌های هواشناسی در ۱۷-۱۶ و ۲۴-۲۵ اکتبر این نتیجه حاصل شد.



شکل ۲. مقایسه نوسانات غیر جزرومدی و مشاهده‌ای برای ایستگاه کنگان در ماه اکتبر سال ۲۰۰۹ [۸]

بررسی بارش و تبخیر رودخانه ولگا و اثر آن روی تراز آب دریای خزر است [۱۱]. از مهم‌ترین مطالعات انجام شده در این زمینه می‌توان به تغییرات فصلی گردش، تراز آب و برهمنش هوا و دریا به وسیله ابرایو و همکارانش در سال ۲۰۱۰ اشاره کرد. مدل مورداستفاده در این مطالعه مدل مشن^۸ است. از نتایج این مطالعه می‌توان به جریان سه‌بعدی، تبخیر، گرمای نهان، گرمای محسوس و تغییرات تراز آب دریای خزر اشاره کرد. همچنین میانگین مجدول مربعات مقادیر شیوه‌سازی شده و اندازه‌گیری از ۱/۴ سانتی‌متر در ایستگاه باکو به ۳ سانتی‌متر در ایستگاه کراسنوفودسک تغییر می‌کند [۱۲]. از مطالعات انجام شده در این زمینه می‌توان به بررسی معادلات تراز سطح آب و کاربرد آن در دریای مدیترانه اشاره کرد که در این تحقیق شکل معادلات تراز آب دریا برای هر منطقه یا هر حوضه‌بسته یا آقیانوسی، بر اساس معادله‌های بقای جرم با اثر تراکم پذیری و معادله حالت در نظر گرفته شده است. معادله‌های میانگین تراز آب دریا (ام.اس.ال.ای)^۹ شامل ترم شناوری شاره و جرم شاره است که روی حرکت‌های سطحی تأثیر می‌گذارند. در این مطالعه ام.اس.ال.ای برای مدت ده سال از سال ۱۹۹۹ تا ۲۰۰۸ برای دریای مدیترانه مورد مطالعه قرار گرفته است. در این مطالعه

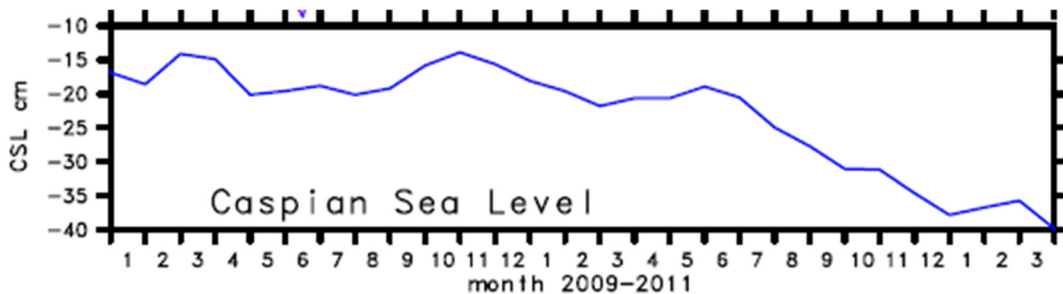
اقتصادی و زاهدی در سال ۱۳۹۰ به مطالعه عوامل تأثیرگذار بر نوسانات تراز آب خزر جنوبی پرداخت. در این تحقیق چگونگی تغییرات تراز دریا با استفاده از اطلاعات پارامترهای بارندگی، تبخیر و دما مشخص و برای پنج ایستگاه ساحل شمال ایران شامل بابلسر، رامسر، نوشهر، آستانه و انتزلي موردنبرسی قرار گرفت. از نتایج این مطالعه می‌توان به کاهش دما و تبخیر در سال‌های ۲۰۰۰ تا ۲۰۰۳ و افزایش دما و تبخیر در سال‌های ۲۰۰۴ تا ۲۰۰۸ اشاره کرد [۹].

همچنین در تحقیقی دیگر سلطان^{۱۰} و همکارانش در سال ۱۹۹۵ طی یک دوره ۱۱ ساله در سواحل جنوبی خلیج فارس تغییر تراز میانگین دریا را موردنبرسی قراردادند. بر اساس نتایج آن‌ها دامنه مؤلفه سالانه تغییرات تراز میانگین سطح دریا ۱۱/۳ سانتی‌متر است و وابستگی تراز دریا به چگالی، دما کم و سهم عمده تغییرات تراز دریا ناشی از فشار هواست [۱۰]. از دیگر مطالعات انجام شده می‌توان به تغییر تراز آب دریای خزر برای گردش‌های جوی با استفاده از مدل ام.پی.آی.ام.^۷ به وسیله آرپه و لروی در سال ۲۰۰۷ اشاره کرد. از نتایج این تحقیق می‌توان به نقش مهم بارش در فصل تابستان بر تراز آب دریای خزر اشاره کرد. همچنین از سایر نتایج این تحقیق

شدید اروپایی روسیه بر دریای خزر انجام پذیرفت. شکل ۳ میانگین ماهانه تغییرات تراز آب دریای خزر را برای سال‌های ۲۰۱۱ تا ۲۰۰۹ نشان می‌دهد؛ که با توجه به این نمودار مشاهده می‌شود که سطح تراز آب در حال کاهش است (اعداد تراز در این نمودار باید به عدد -۲۷- اضافه شود). همچنین از دیگر نتایج این مطالعه می‌توان به افت بارش در ماه ژوئیه سال ۲۰۱۰ در منطقه رودخانه ولگا اشاره نمود که باعث افزایش تبخیر در این منطقه و کاهش تراز آب دریای خزر می‌شود [۱۴].

تغییرات آnomالی چگالی کوچک‌تر از مقدار ثابت چگالی و معادله حالت برای چگالی به صورت خطی و با ضریب ثابت در نظر گرفته شد، این نتیجه حاصل شد که مقدار ام.اس.ال.ای به دست آمده از منطقه در مدل شبیه‌سازی شده بیانگر ۲-۳ سانتی‌متر خطا در مقادیر ام.اس.ال.ای است [۱۳].

همچنین، خشک‌سالی سال ۲۰۱۰ روسیه بر تراز آب دریای خزر مورد مطالعه قرار گرفت. در این تحقیق به مطالعه هیدرولوژیکی دریای خزر و رودخانه ولگا پرداخته شد. این مطالعه برای دوره ۱۹۹۳ تا ۲۰۱۰ و با تأکید بر خشک‌سالی



شکل ۳. میانگین ماهانه تغییرات تراز آب دریای خزر از سال ۲۰۰۹ تا ۲۰۱۱ [۱۴]

۲. مواد و روش‌ها

داده‌های باد و فشار هوا از سایت ECMWF^{۱۰} که از سوی مرکز مطالعات پیش‌بینی آب و هوای اروپا تهیه و تنظیم شده، برای سال ۲۰۱۵ با مقیاس مکانی ۰/۱۲۵ درجه جغرافیایی و گام زمانی ۶ ساعته دریافت شد. داده‌های فشار هوا از سایت ECMWF، مربوط به ارتفاع ۵۰۰ هکتوپاسکال است، بنابراین مراکز فشار در این تحقیق از نوع فشار دینامیکی هستند. همچنین داده‌های تغییرات تراز آب دریای خزر نیز از داده‌های ثبت شده در طول سواحل دریای خزر در ایستگاه‌های اترلی، فریدون‌کنار و امیرآباد از مرکز تحقیقات آب دریای خزر گردآوری شد. برای ترسیم و تحلیل این داده‌ها، از نرم افزار پایی فررت^{۱۱} استفاده شده است. پای فررت محیطی برای تجزیه و تحلیل مجموعه‌ای از داده‌ها که حجم بسیار بالا و پیچیده‌ای دارند، طراحی شده است. این نرم افزار بیشتر برای نیازهای اقیانوس‌شناسان و هواشناسان طراحی و تولید شده است. این برنامه روی سیستم‌عامل‌های یونیکس و مک نیز اجرا شده است. نرم افزار پایی فررت در سال ۲۰۱۲ به

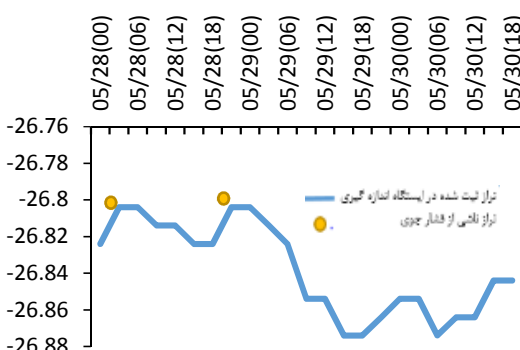
از مطالعاتی که اخیراً در زمینه تراز آب دریای خزر صورت گرفته می‌توان به اندازه‌گیری بلندمدت و فصلی تراز آب دریای خزر با استفاده از ماهواره و اندازه‌گیری ارتفاع‌سنگی توسط چن و همکارانش در سال ۲۰۱۷ اشاره کرد. در این مطالعه با ثبت داده‌های ارتفاع‌سنگی برای سال‌های ۲۰۰۲ تا ۲۰۱۵ مشاهده می‌شود که سطح تراز آب با نرخی در حدود ۲۰ برابر از سطح آب‌های جهانی پایین‌تر بوده، همچنین نوسانات فصلی نیز از میانگین تراز آب‌های آزاد بیشتر است [۱۵]. تغییرات سطح دریا ناشی از عوامل متفاوتی است که بعضی از آن‌ها مانند الینینو و لاتینینو می‌توانند اثرات مهمی بر آب و هوای کره زمین و شرایط زیست‌محیطی آن بگذارند. این پدیده‌ها به نوبه خود زندگی مردم را به شدت تهدید می‌کنند. بنابراین دیده‌بانی سطح آب دریاها و اقیانوس‌ها می‌تواند بشر را از بروز چنین پدیده‌هایی باخبر سازد تا آمادگی مقابله با آن‌ها را به دست آورد و خود را از خطرهای احتمالی نجات بخشد.

۳. نتایج و بحث

در این تحقیق با توجه به اینکه مطالعه تغییرات تراز آب به صورت کوتاه مدت مورد مطالعه قرار گرفته است؛ بنابراین از سایر عوامل که کمترین تأثیرگذاری را در کوتاه مدت روی تراز آب دارند، شامل دبی رودخانه ها، تبخیر، بارندگی و ... صرف نظر شده و به دو عامل اصلی باد و میانگین فشار تراز آب پرداخته شده است. پس از گرفتن داده های باد و میانگین فشار تراز آب دریای خزر از سایت و رسم شکل ها برای سال ۲۰۱۵ پارامترهایی از جمله تعداد و قوع کم فشاری جوی به صورت فصلی، مکان کم فشاری های جوی، منشأ، مسیر حرکت، سرعت جابه جایی حرکت چرخدن جوی و اثر کم فشاری های جوی و باد بر روی تراز آب مورد تجزیه و تحلیل قرار گرفت.

۱-۳ اعتبارسنجی داده ها

برای اعتبارسنجی مقایسه ای بین کم فشاری های جوی و تراز ایستگاه موردنظر در زمان کم فشاری جوی نیز انجام شد. شکل های ۴ و ۵ نمودار تراز آب دریا را برای روزهای قبل و بعد از وقوع کم فشاری جوی در ماه های می (ایستگاه انزلی) و نوامبر (ایستگاه فریدون کنار) را نشان می دهند.



شکل ۴. تغییرات تراز آب دریای خزر برای روزهای ۲۸ تا ۳۰ می در ایستگاه انزلی

نقاط نارنجی رنگ مشخص شده روی نمودارها زمان و قوع کم فشاری جوی را نشان می دهد. با مقایسه شکل ۷ با شکل ۴ مشاهده می شود که در روز ۲۹ مه (ساعت ۱۸) در ایستگاه انزلی کم فشاری جوی رخ می دهد؛ که در روز ۲۹ مه تغییر تراز ناشی از فشار هوا و باد به ترتیب ۱ و ۴ سانتی متر است. همچنین با توجه به شکل ۹(ب) و ۴ برای ایستگاه فریدون کنار

نسخه پایی فرمت بر اساس برنامه پایتون توسعه یافت [۱۶]. داده ها با قالب های نت سی دی اف^{۱۲}، ASCII و binary در این نرم افزار قابل اجرا هستند [۱۷]. با استفاده از داده های باد و فشار هوای اخذ شده از بانک داده های ECMWF، شکل های توزیع باد و میانگین فشار سطحی مربوط به دریای خزر برای مدت یک سال به صورت ۶ ساعته رسم شد. همچنین برای ترسیم مناطقی که در آن کم فشاری رخ داده است از نرم افزار سورفر^{۱۳} استفاده به عمل آمد. سپس پارامترهایی از جمله تعداد و قوع کم فشاری های جوی به صورت فصلی، مکان کم فشاری های جوی، منشأ، مسیر حرکت، سرعت جابه جایی چرخدن جوی و مناطقی که وقوع کم فشاری جوی در آن محتمل تر است، بررسی شد. با استفاده از سری زمانی داده های ثبت شده تراز آب دریای خزر در ایستگاه های انزلی، فریدون کنار و امیر آباد، میزان تغییرات تراز ناشی از کم فشار جوی و باد مورد تجزیه و تحلیل قرار گرفت. برای محاسبه تغییرات تراز ناشی از کم فشار جوی و باد، ابتدا در دو حالت کم فشاری و حالت معمول فشار هوا یادداشت شد. اختلاف فشار این دو حالت بر حسب هکتوپاسکال است. با توجه به قانون هیدروستاتیکی فشار که به ازای هر یک میلی بار (هر میلی بار برابر است با یک هکتوپاسکال) کاهش فشار باعث افزایش یک سانتی متری تراز آب دریا می شود، تراز ناشی از فشار هوا محاسبه شد. همچنین برای محاسبه تغییر تراز ناشی از باد، با توجه به داده های موجود از ایستگاه های اندازه گیری، اختلاف مقدار تراز برای دو حالت یادداشده محاسبه شد. همچنین با توجه به اینکه در این مطالعه تغییرات تراز آب به صورت کوتاه مدت مورد مطالعه قرار گرفته است، از سایر عوامل که کمترین تأثیرگذاری را در کوتاه مدت بر روی تراز آب دارند، شامل دبی رودخانه ها، تبخیر، بارندگی و ... صرف نظر شده است؛ بنابراین با کم کردن مقدار تراز ناشی از کم فشاری جوی مقدار تراز باقی مانده را به باد که مهم ترین عامل تأثیرگذار در کوتاه مدت بر تراز آب است، اختصاص داده شد.

این نتیجه حاصل شد که بیشترین تعداد کم فشاری‌های جوی در جنوب و جنوب شرقی خزر جنوبی قرار دارند. البته در مناطق غربی خزر میانی و قسمت‌هایی از شرق حوضه شمالی نیز کم فشاری‌های جوی رخ می‌دهد، ولی فراوانی آن‌ها نسبت به حوضه جنوبی بسیار کمتر است.

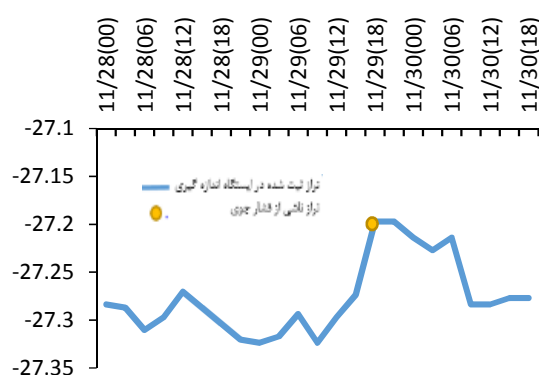


شکل ۷. مرکز نقاط کم فشاری جوی در سه حوضه دریایی خزر برای سال ۲۰۱۵

از مهم‌ترین نتایج این تحقیق می‌توان به بررسی و مطالعه منشاء و مسیر حرکت کم فشاری‌های جوی بر دریای خزر برای ماه‌های فوریه، می، آگوست و نوامبر اشاره کرد. در این مطالعه ابتدا منشأ و مسیر حرکت کم فشاری جوی، سپس به بررسی کم فشاری جوی بر دریای خزر پرداخته شده است.

شکل ۸ کم فشاری‌های جوی را برای روز ۴ فوریه (سال ۲۰۱۵) را نشان می‌دهد. با توجه به شکل ۸ سیستم کم فشاری جوی از غرب حوضه میانی و با جهت $10/2$ درجه وارد دریای خزر می‌شود که می‌توان سرعت جابه‌جایی چرخند جوی را با محاسبه مراکز دو کم فشاری جوی محاسبه کرد. با توجه به شکل‌های ۸ (الف) (ساعت صفر روز ۴ فوریه) و ۸

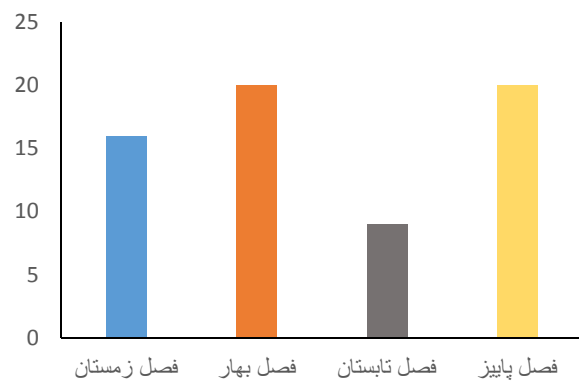
نیز در روز ۲۹ نوامبر ساعت ۱۸ کم فشاری جوی مشاهده می‌شود که تغییر تراز ناشی از فشار جوی و باد به ترتیب $4/5$ و $1/5$ سانتی‌متر است.



شکل ۵. تغییرات تراز آب دریای خزر برای روزهای ۲۸ تا ۳۰ نوامبر در ایستگاه فریدون‌نکنار

۲-۳ نتایج

شکل ۶ نمودار فصلی تعداد کم فشاری‌های جوی را در سال ۲۰۱۵ نشان می‌دهد که با توجه به این شکل و با بررسی زمان و مکان رخدادهای کم فشاری جوی این نتیجه حاصل شد که اغلب کم فشاری‌های جوی در فصل بهار و پاییز رخ می‌دهند.

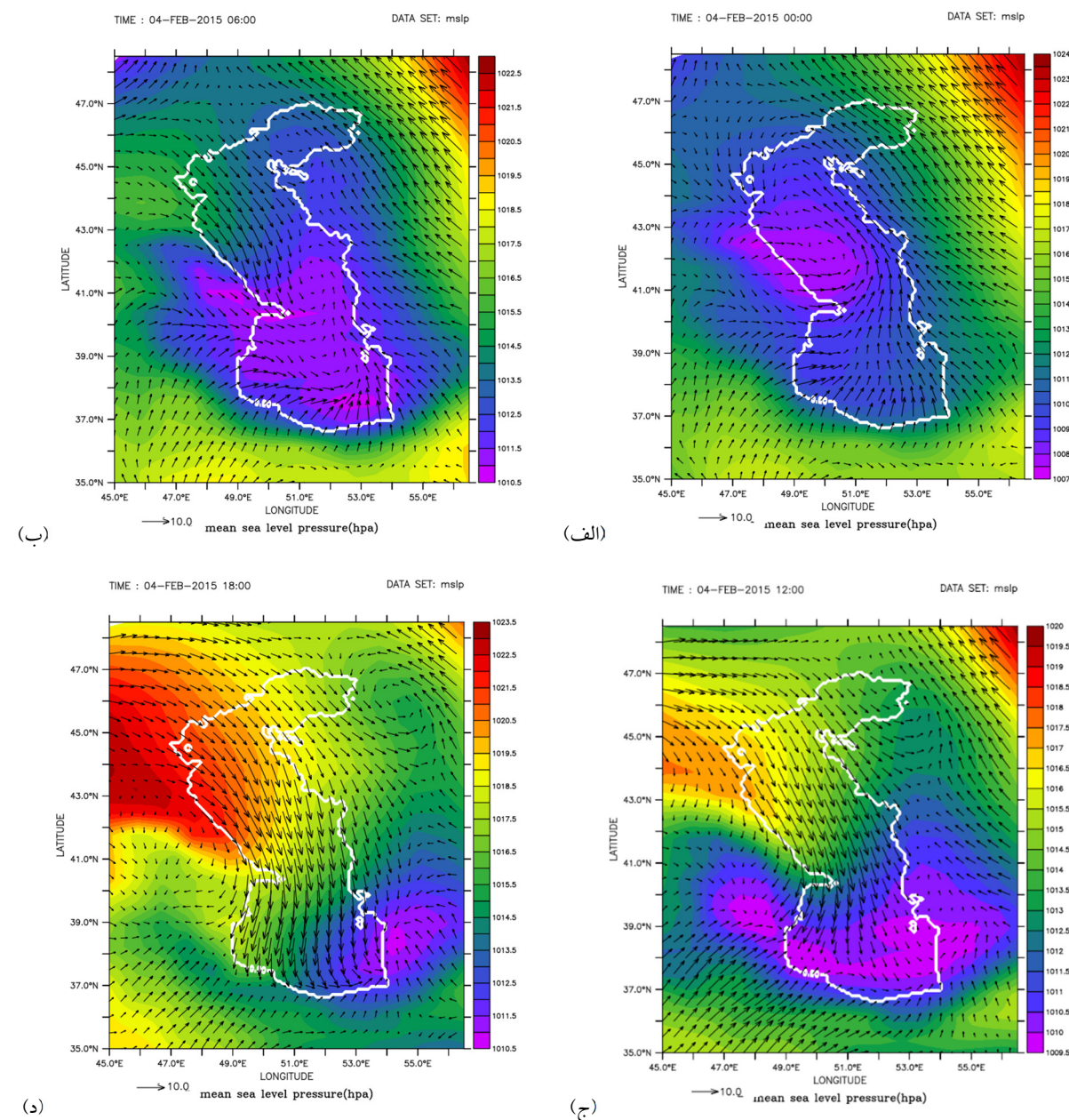


شکل ۶. نمودار فصلی تعداد کم فشاری‌های جوی برای سال ۲۰۱۵

مرکز نقاط کم فشاری جوی در هر سه حوضه دریایی خزر برای سال ۲۰۱۵ با شکل ۷ نمایش داده شده است. با بررسی مناطقی که در آن کم فشاری‌های جوی رخداده است و با توجه به طول و عرض جغرافیایی مراکز کم فشاری جوی، برای سال ۲۰۱۵ و با استفاده از نرم‌افزار سورفر، محل وقوع کم فشاری‌های جوی در هر سه حوضه دریایی خزر رسم شد.

بیشینه مقدار کم فشاری جوی در جنوب شرقی و شمال غربی خزر جنوبی مشاهده می شود. در ساعت ۱۲ روز ۴ فوریه برشدت سیستم کم فشاری جوی در خزر جنوبی افزوده شده که بیشترین تأثیر را بر سواحل جنوب غربی خزر جنوبی (سواحل انزلی و آستانه) و قسمت هایی از مرکز و کل سواحل شرقی دارد (شکل ۸ج). این سیستم کم فشاری جوی با سرعتی در حدود ۵/۷ متر بر ثانیه و با جهت ۲۶/۵ درجه از شرق خزر جنوبی خارج می شود (شکل ۸د).

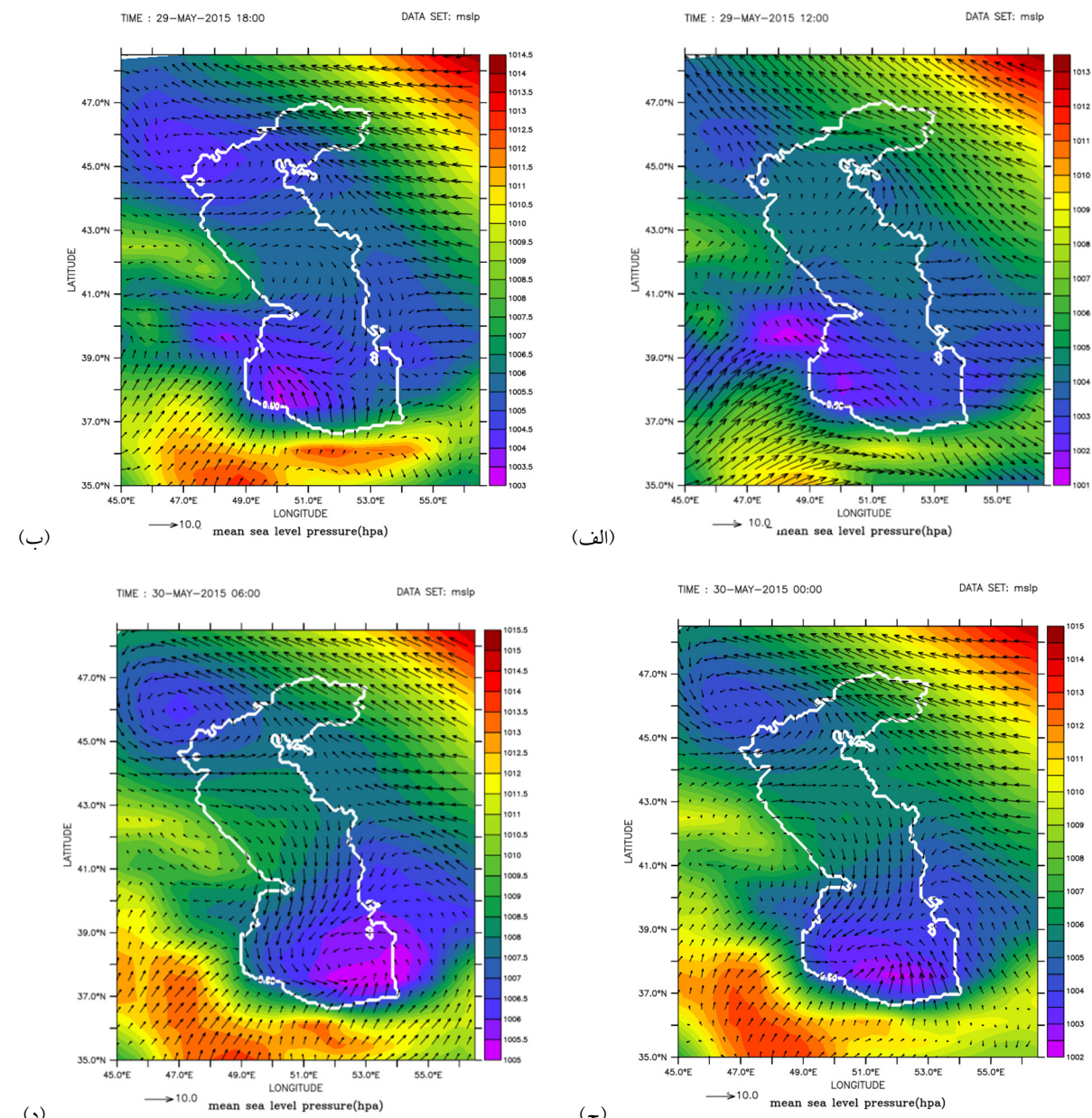
(ب) ساعت ۶، روز ۴ فوریه) فاصله مراکز کم فشاری جوی ۳۴۲ کیلومتر و مدت زمان حرکت کم فشاری جوی نیز ۶ ساعت است؛ بنابراین می توان نتیجه گرفت که سرعت جابه جایی چرخند جوی $15/8$ متر بر ثانیه است. این سیستم کم فشاری جوی در ساعت ۶ صبح روز ۴ فوریه (سال ۲۰۱۵) تمامی مناطق خزر جنوبی و قسمت هایی از جنوب خزر میانی را در بر می گیرد.



شکل ۸ سیستم کم فشار جوی در روز ۴ فوریه (سال ۲۰۱۵)

از گذشت ۶ ساعت سیستم کم فشاری جوی در راستای سواحل جنوبی و به سمت شرق در حرکت بوده (شکل ۹ج) و در ساعت صفر روز ۳۰ مه مناطق مرکزی این حوضه را تحت تأثیر قرار می‌دهد. این سیستم کم فشاری جوی با سرعتی در حدود $5/3$ متر بر ثانیه و با جهت $16/6$ درجه به سمت نواحی شرقی در حرکت است (شکل ۹د).

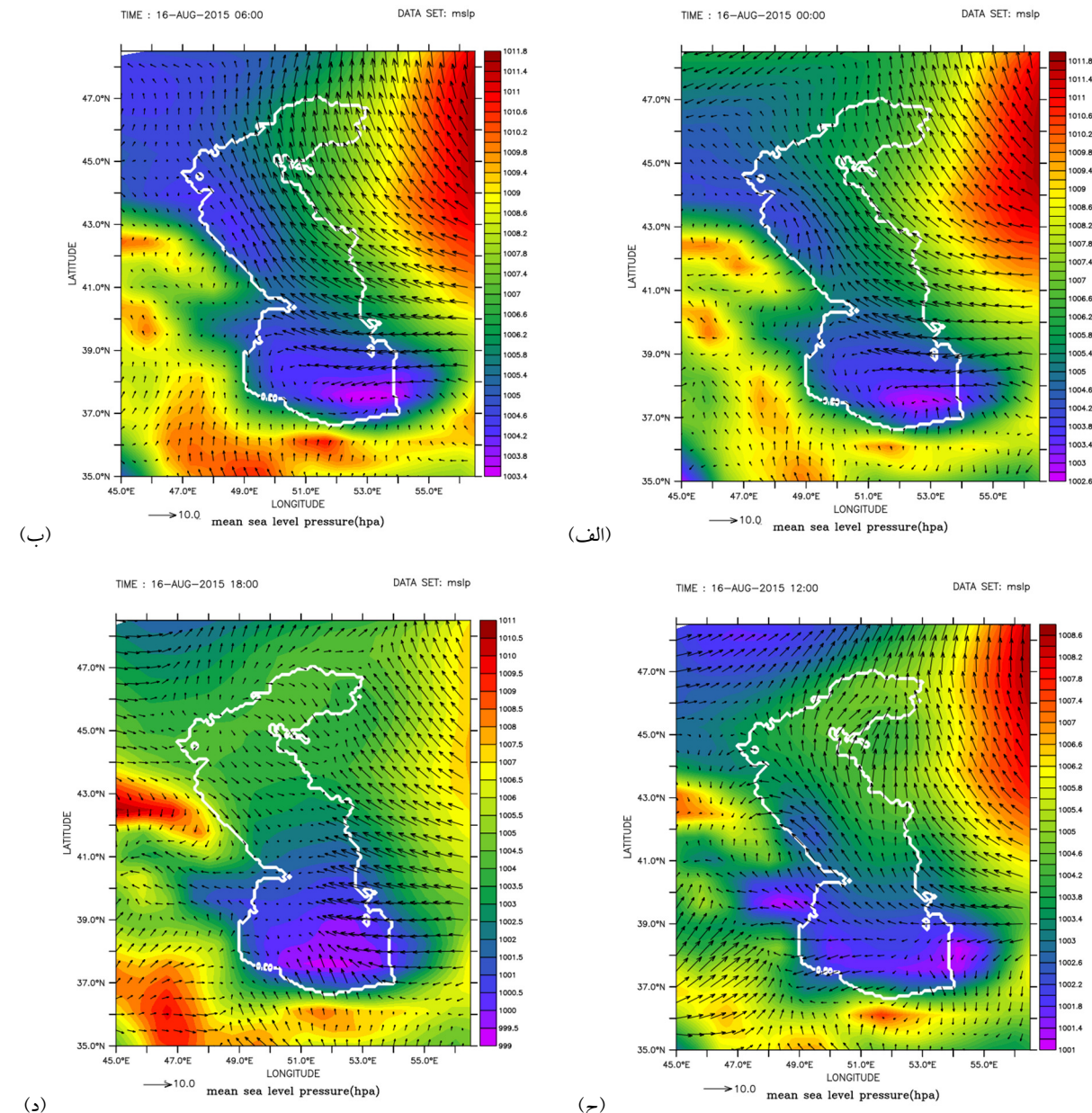
شکل ۹ کم فشارهای جوی را بر خزر جنوبی در روزهای ۲۹ و ۳۰ می سال ۲۰۱۵ را نشان می‌دهد. با توجه به این شکل سیستم کم فشاری جوی در ساعت ۱۲ روز ۲۹ می در خارج از مرازهای شمال غربی حوضه جنوبی در حال شکل‌گیری است (شکل ۹الف). این سیستم کم فشاری جوی با سرعت ۱۱/۶ متر بر ثانیه و با جهت $48/4$ درجه به سمت نواحی جنوب غربی خزر جنوبی در حرکت است (شکل ۹ب). پس



شکل ۹. سیستم کم فشار جوی در روزهای ۲۹ و ۳۰ می (سال ۲۰۱۵)

حرکت است (شکل ۱۰ ب). شدت این کم فشاری جوی در مناطق شرقی خزر جنوبی کاهش یافته (شکل ۱۰ ج)، سپس با سرعت ۳ متر بر ثانیه و جهت ۳۰ درجه به سمت مرکز خزر جنوبی حرکت می نمایند (شکل ۱۰ د).

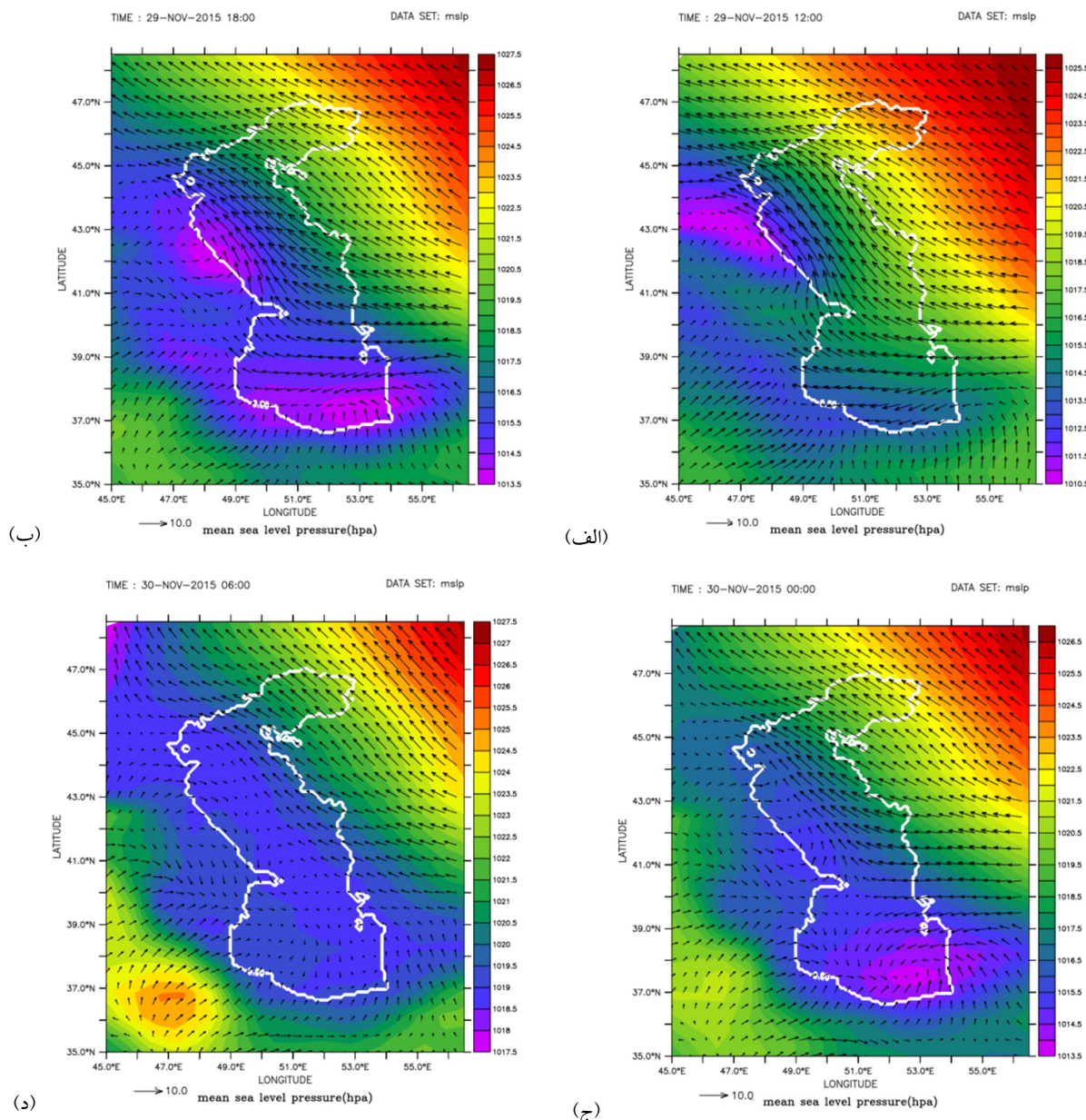
شکل ۱۰ سیستم کم فشاری جوی را در روز ۱۶ آگوست سال ۲۰۱۵ نشان می دهد. در ساعت صفر روز ۱۶ آگوست سیستم کم فشاری جوی در جنوب شرقی خزر جنوبی در حال تشکیل است (شکل ۱۰ الف). این سیستم کم فشاری جوی با سرعت ۵/۳ متر بر ثانیه و جهت ۱۶/۶ درجه به سمت شرق در حال



شکل ۱۰. سیستم کم فشار جوی در روز ۱۶ آگوست (سال ۲۰۱۵)

نوامبر سیستم کم فشاری جوی دیگری نیز در سواحل جنوب شرقی خزر جنوبی در حال شکل گیری است (شکل ۱۱ ب). در ساعت صفر روز ۳۰ نوامبر فقط در جنوب شرقی خزر جنوبی کم فشاری جوی مشاهده می شود (شکل ۱۱ ج)؛ پس از گذشت ۶ ساعت این سیستم کم فشاری جوی در این منطقه از بین می رود (شکل ۱۱ د).

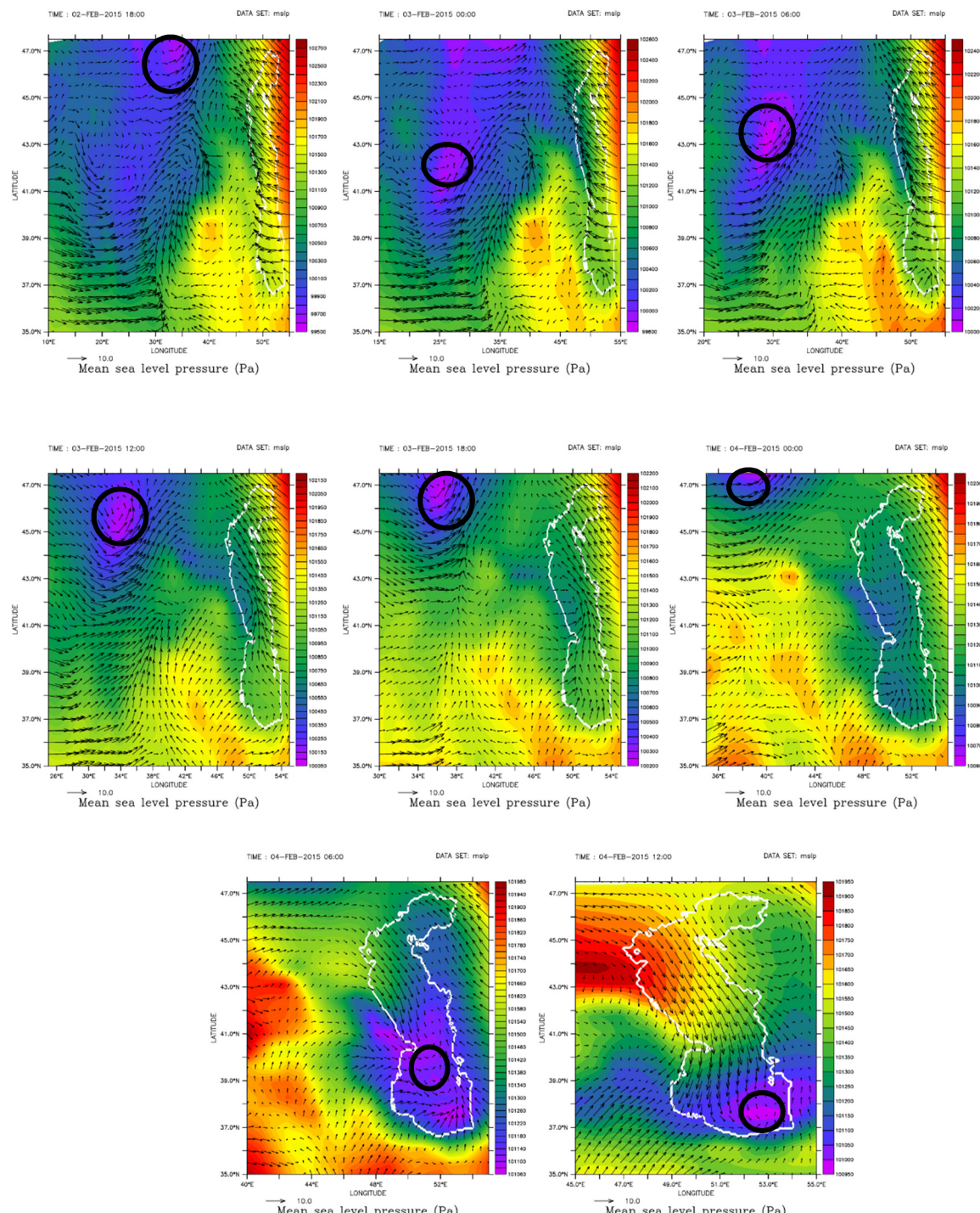
شکل ۱۱ سیستم کم فشاری جوی را برای روزهای ۲۹ و ۳۰ نوامبر در سال ۲۰۱۵ نشان می دهد. مطابق شکل ۱۱ الف سیستم کم فشاری جوی در ساعت ۱۲ نوامبر از منطقه شمال غربی حوضه میانی وارد حوضه دریای خزر می شود که سرعت این کم فشاری جوی $9/8$ متر بر ثانیه و جهت آن ۵۱ درجه است. پس از گذشت ۶ ساعت در ساعت ۱۸ روز ۲۹



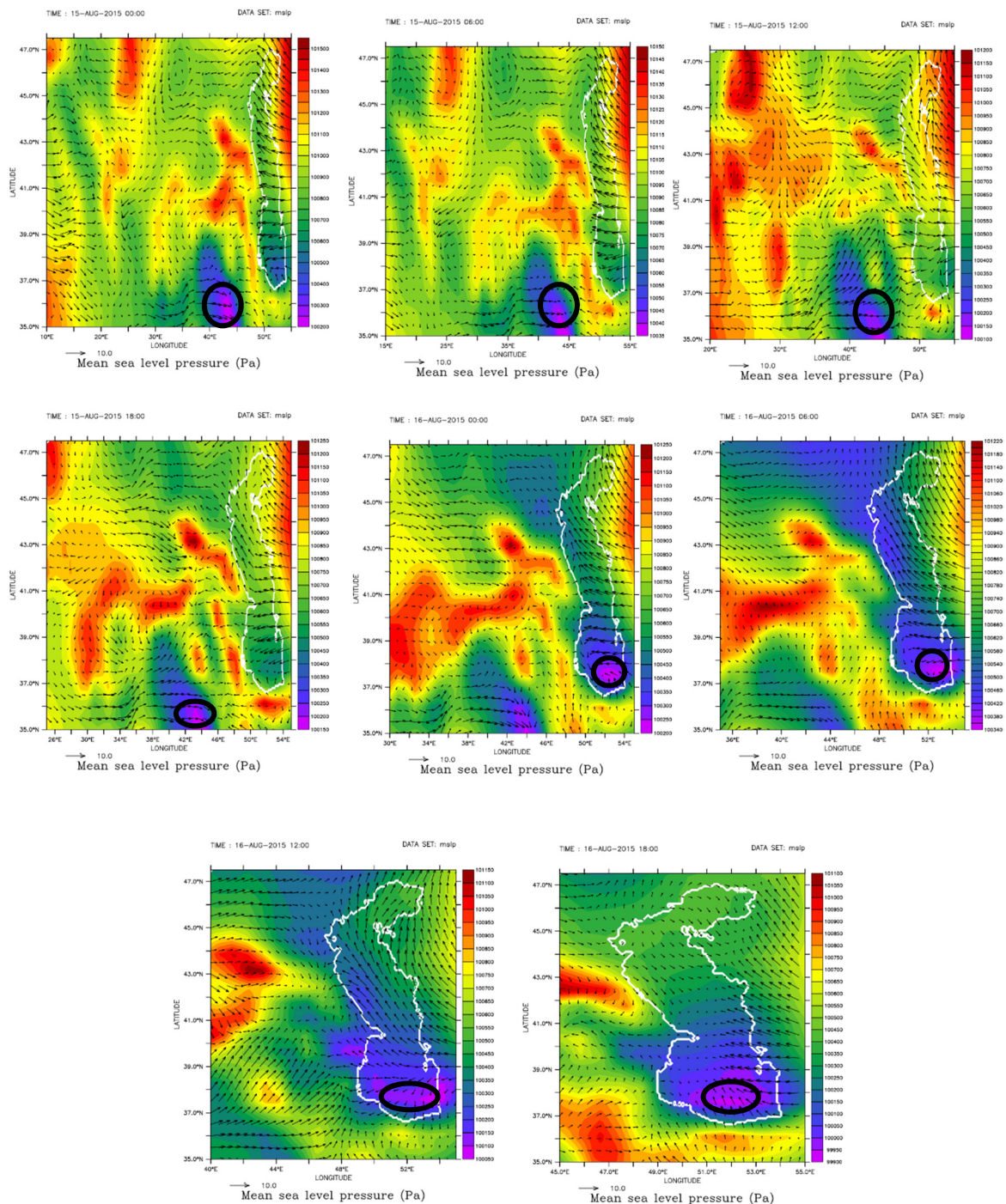
شکل ۱۱. سیستم کم فشار جوی در روزهای ۲۹ و ۳۰ نوامبر (سال ۲۰۱۵)

با توجه به شکل ۱۳ مشاهده می شود که منشأ کم فشاری جوی در روز ۱۶ آگوست (سال ۲۰۱۵) از مناطق جنوب غربی دریای خزر است.

شکل ۱۲ رهگیری منشأ کم فشاری جوی در روز ۴ فوریه (سال ۲۰۱۵) را نشان می دهد که با توجه به این شکل این سیستم کم فشاری جوی از مناطق شمال غربی دریای خزر در حال شکل گیری است.



شکل ۱۲. رهگیری منشأ کم فشاری جوی در روزهای ۲ تا ۴ فوریه (سال ۲۰۱۵)



شکل ۱۳. رهگیری منشأ کم فشاری جوی در روزهای ۱۵ تا ۱۶ آگوست (سال ۲۰۱۵)

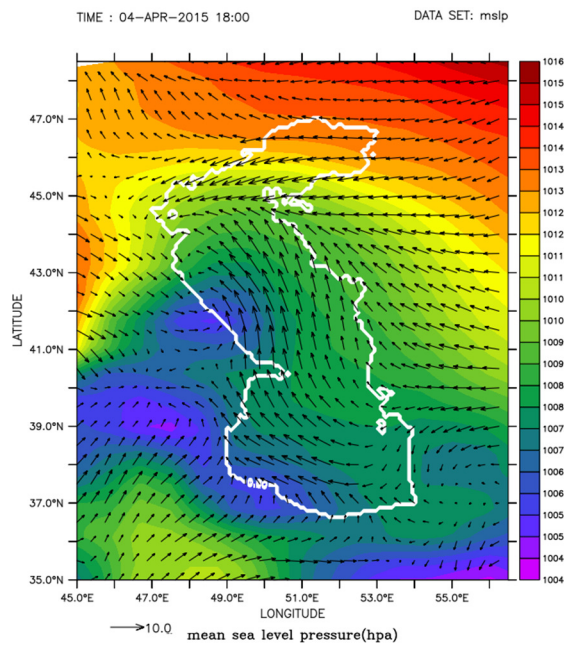
به ترتیب 1005 hPa و $1006/5 \text{ hPa}$ است که اختلاف فشار این دو حالت $1/5 \text{ hPa}$ است. با توجه به اینکه هر یک میلی بار کاهش فشار باعث افزایش یک سانتی‌متری تراز آب دریا و تراز ناشی از فشار هوا می‌شود. همچنین برای محاسبه تغییر تراز ناشی از باد، با توجه به داده‌های موجود از ایستگاه‌های اندازه‌گیری، مقدار تراز برای دو حالت گفته شده به ترتیب

همچنین از نتایج اصلی این مطالعه می‌توان به تغییرات تراز آب دریای خزر برای دو عامل کم فشاری‌های جوی و باد در ایستگاه‌های ساحلی ایران که شامل ایستگاه‌های انزلی و امیرآباد برای سال ۲۰۱۵ مطابق جدول (۱) اشاره کرد. به عنوان نمونه ایستگاه امیرآباد در سال ۲۰۱۵ در دو حالت کم فشاری (شکل ۱۴) و حالت معمول (شکل ۱۵) فشار هوا

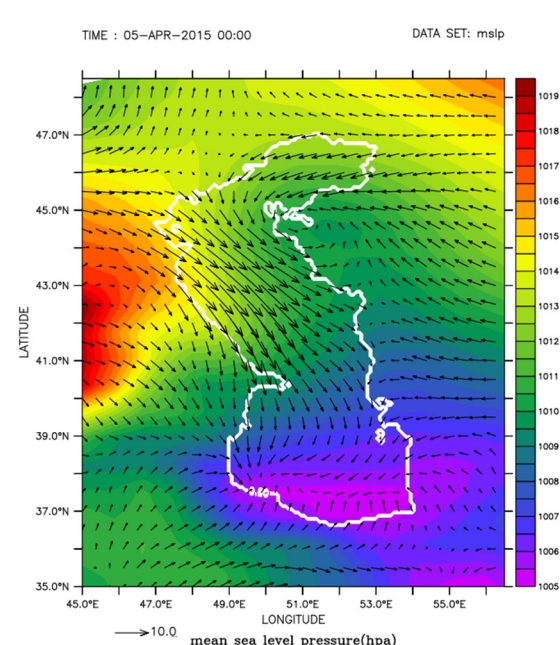
-۲۶/۹۷m و -۲۶/۹۹ m است. اختلاف تراز در این دو حالت

۲ سانتی متر است؛ بنابراین از ۲ سانتی متر تغییر تراز ۱/۵

سانتی متر ناشی از فشار هوای ۰/۵ سانتی متر ناشی از باد است.



شکل ۱۵. ایستگاه امیرآباد بدون کم فشاری



شکل ۱۴. ایستگاه امیرآباد در حالت کم فشاری

جدول ۱. تغییرات تراز آب دریای خزر ناشی از فشار هوای باد در ایستگاه های ساحلی خزر جنوبی در سال ۲۰۱۵

ایستگاه	زمان وقوع	فشار	تراز آب شده در ایستگاه (m)	افزایش تراز آب ناشی از باد (cm)	افزایش تراز آب ناشی از کم فشاری (cm)
در حالت کم فشاری	۲۰۱۵/۰۲/۰۴	1009/5	-۲۶/۹۹۴	1	1
	۲۰۱۵/۰۲/۰۳	1010/5	-۲۶/۹۷۴		
بدون کم فشاری	۲۰۱۵/۰۵/۲۹	1003/5	-۲۶/۸۷۴	۴	1
	۲۰۱۵/۰۵/۲۸	1004/5	-۲۶/۸۲۴		
در حالت کم فشاری	۲۰۱۵/۰۸/۱۶	1003/4	-۲۷/۰۱۷	۲/۴	1/۶
	۲۰۱۵/۰۸/۱۵	1005	-۲۷/۹۷۷		
بدون کم فشاری	۲۰۱۵/۱۱/۲۹	1013/5	-۲۷/۲۲	۰/۵	۲/۵
	۲۰۱۵/۱۱/۲۷	1016	-۲۷/۲۵		
در حالت کم فشاری	۲۰۱۵/۰۴/۰۵	1005	-۲۶/۹۹	۰/۵	۱/۵
	۲۰۱۵/۰۴/۰۴	1006/5	-۲۶/۹۷		
بدون کم فشاری	۲۰۱۵/۱۱/۲۹	1014	-۲۷/۲۱۷	۵/۵	۱/۵
	۲۰۱۵/۱۱/۲۷	1015/5	-۲۷/۲۸۷		

۴. نتیجه گیری

تصاویر باد و میانگین فشار تراز آب مربوط به دریای خزر برای مدت یادشده به صورت ۶ ساعته رسم شد. پس از رسم تصاویر پارامترهایی از جمله: تعداد و قوع کم فشاری جوی به صورت فصلی، مکان کم فشاری های جوی، منشأ و مسیر

داده های موردنیاز این تحقیق که شامل داده های باد و میانگین فشار تراز آب اند، از بانک داده های ECMWF با گام زمانی ۶ ساعته و دقیقه ۰/۱۲۵ درجه جغرافیایی برای سال ۲۰۱۵ دریافت شد. سپس با استفاده از کدهای نرم افزار پایی فرست

- [۴] چگنی و حید. نظریه‌های موج. انتشارات شرکت جهاد تحقیقات آب و آبخیزداری؛ ۱۳۷۷.
- [۵] Naderi Beni A, Lahijani H, Mousavi Harami R, Arpe K, Leroy S, Marriner N, & Reimer P. Caspian sea-level changes during the last millennium. historical and geological evidence from the south Caspian Sea. Climate of the Past. 2013; 9(4): 1645-65.
- [۶] Vogt M, Payne M, Lachkar Z, Gruber N, Salmanmahiny A, & Hosseini S. Biogeographic classification of the Caspian Sea. Biogeosciences. 2014; 11(22): 6451.
- [۷] حیدری مهناز. تأثیر عبور چرخندهای هواشناسی بر نوسان سطح آب در کanal قشم [پایان‌نامه]. تهران: دانشگاه آزاد اسلامی واحد علوم و تحقیقات؛ ۱۳۹۰.
- [۸] Khalilabadi M. The effect of meteorological events on sea surface height variations along the northwestern Persian Gulf. Current Science. 2016; 110(11): 2138-2141.
- [۹] اقتصادی شهمیر، زاهدی رفیعه. مطالعه عوامل تأثیرگذار بر نوسانات تراز آب خزر جنوبی. مجله علوم و فنون دریایی. ۱۳۹۰؛ ۱۰(۳): ۱۳-۴.
- [۱۰] Sultan SA, Ahmad F, Elghribi NM, Al-Subhi AM. An analysis of Arabian Gulf monthly mean sea level. Continental Shelf Research. 1995 Jan 1;15(11-12):1471-82.
- [۱۱] Arpe K, Leroy SA. The Caspian Sea Level forced by the atmospheric circulation, as observed and modelled. Quaternary international. 2007 Oct 1;173:144-52.
- [۱۲] Ibrayev RA, Özsoy E, Schrum C, Sur HI. Seasonal variability of the Caspian Sea three-dimensional circulation, sea level and air-sea interaction. Ocean Science. 2010 Mar 1;6(1):311-29.
- [۱۳] Pinardi N, Bonaduce A, Navarra A, Dobricic S, Oddo P. The Mean Sea Level Equation and Its Application to the Mediterranean Sea. Journal of Climate. 2014 Jan 1;27(1):442-7.
- [۱۴] Arpe K, Leroy S, Lahijani H, Khan V .Impact of the European Russia drought in 2010 on the Caspian Sea level. Hydrology and earth system science. 2012;16:19-27.
- [۱۵] Chen JL, Wilson CR, Tapley BD, Save H, Cretaux JF. Longterm and seasonal Caspian Sea level change from satellite gravity and altimeter measurements. Journal of Geophysical Research: Solid Earth. 2017 Mar 1;122(3):2274-90.

حرکت چرخند جوی و اثر کم‌فشاری‌های جوی و باد بر تراز آب مورد تجزیه و تحلیل قرار گرفت. از مهم‌ترین نتایج این تحقیق می‌توان به منشأ کم‌فشاری‌های جوی در ماه‌های فوریه و مه از مناطق شمال‌غربی خزر و در ماه‌های آگوست و نوامبر از غرب و جنوب‌غربی این حوضه اشاره کرد. از دیگر نتایج این تحقیق می‌توان به وقوع کم‌فشاری‌های عمده جوی در دو فصل بهار و پاییز اشاره کرد. همچنین جهت عمده ورود سیستم‌های کم‌فشاری جوی به دریای خزر از غرب و شمال‌غربی حوضه میانی است. همچنین با توجه به جدول (۱) در مناطق شرقی خزر جنوبی فشار هوا و در مناطق غربی این حوضه، باد بیشترین تأثیر را دارد. به عنوان نمونه در ۵ آوریل سال ۲۰۱۵ در ایستگاه امیرآباد که فشار هوا ۱۰۰۵ هکتوپاسکال است، مقدار تراز ناشی از فشار هوا و باد به ترتیب $1/5$ و $0/5$ سانتی‌متر است. همچنین سرعت جابه‌جایی چرخند جوی در ماه‌های فوریه، می، آگوست و نوامبر به ترتیب $15/8$ ، $5/3$ و $9/8$ متر بر ثانیه است. با بررسی این تصاویر اغلب کم‌فشاری‌های جوی از شمال‌غربی حوضه میانی و غرب خزر جنوبی وارد دریای خزر می‌شوند (شکل‌های ۱۰ الف، ۱۱ الف و ۱۴ الف) که اغلب مسیر حرکت آن‌ها به سوی شرق حوضه میانی و جنوب‌شرقی خزر جنوبی است (شکل‌های ۱۱ ج و ۱۴ ج). همچنین چرخندهای جوی اغلب در سواحل جنوب حوضه جنوبی دریای خزر رخ می‌دهند ولی سواحل شرقی به دلیل مسطح بودن سواحل خشکی آن، بیشتر تحت تأثیر رویدادهای کم‌فشاری جوی قرار می‌گیرند.

مراجع

- [۱] خلیل‌آبادی محمد‌رضاء، سرانجام بهادر. مبانی دینامیک اقیانوس‌ها. تهران: انتشارات دانشگاه صنعتی مالک اشتر؛ ۱۳۹۱.
- [۲] نظام‌السادات سید‌محمد جعفر. مبانی هوا و اقلیم‌شناسی. مرکز نشر دانشگاهی؛ ۱۳۸۸.
- [۳] مفیدی عباس، زرین آذر. تحلیلی بر ماهیت و ساختار مراکز پرفشار و کم‌فشار. مجله رشد آموزش زمین‌شناسی. ۱۳۸۵؛ ۴۷: ۵۴-۵۸.

پی‌نوشت

1. inverse barometer effect
2. North Caspian Basin(NCB)
3. Middle Caspian Basin(MCB)
4. South Caspian Basin(SCB)
5. TASK
6. Sultan
7. Max Planck Institute for Meteorology(MPIM)
8. Model for Enclosed Sea Hydrodynamics(MESH)
9. Mean Sea Level Equation(MSLE)
10. European Centre for Medium-Range Weather Forecasts (ECMWF)
11. Pyferret
12. Netcdf
13. Surfer

[16] Hankin S, Callahan J, Manke A, O'brien K, Wei Y. FERRET User's guide Version 5.8. NOAA/PMEL; 2004.

[17] Oey L, Chang YL, Lin YC, Chang MC, Xu F, Lu HF. ATOP-The advanced Taiwan Ocean Prediction System based on the mpiPOM. Part1: Model Descriptions, Analysis and Results, Terrestrial, Atmospheric & Oceanic Sciences. 2012;24(1):137-58.